図 2.1:  $\text{H}_2\text{-O}_2$ 爆発限界

800 K 付近を見たときに限界曲線を下から (低压から) 順に、第一限界, 第二限界, 第三限界と呼ぶ。

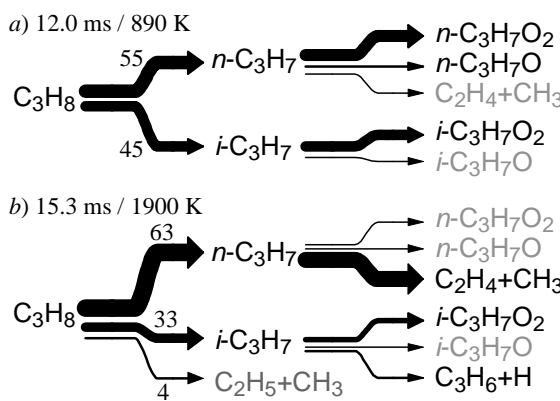


図 2.2: 反応経路解析の例

プロパン-空気当量混合気の定容断熱計算  
40 atm, 850 K における燃料消費過程の経路解析.  
a) 着火誘導期, b) 热炎領域

表 2.1:  $\text{CH}_4$ の連鎖塩素化の反応速度定数

反応	$A$ [ $\text{cm}^3 \text{mol}^{-1} \text{s}^{-1}$ ]	$b$	$E_a / R$ [K]	$k(500 \text{ K})$ [ $\text{cm}^3 \text{mol}^{-1} \text{s}^{-1}$ ]
(1) $\text{Cl} + \text{CH}_4 \rightarrow \text{HCl} + \text{CH}_3$	$7.83 \times 10^4$	2.69	500	$5.26 \times 10^{11}$
(2) $\text{CH}_3 + \text{Cl}_2 \rightarrow \text{CH}_3\text{Cl} + \text{Cl}$	$3.02 \times 10^{12}$	0	270	$1.77 \times 10^{12}$
(3) $\text{Cl} + \text{CH}_3\text{Cl} \rightarrow \text{HCl} + \text{CH}_2\text{Cl}$	$2.41 \times 10^{10}$	0.92	800	$1.49 \times 10^{12}$
(4) $\text{CH}_2\text{Cl} + \text{Cl}_2 \rightarrow \text{CH}_2\text{Cl}_2 + \text{Cl}$	$9.11 \times 10^{11}$	0	490	$3.40 \times 10^{11}$
(5) $\text{Cl} + \text{CH}_2\text{Cl}_2 \rightarrow \text{HCl} + \text{CHCl}_2$	$8.91 \times 10^7$	1.58	360	$7.93 \times 10^{11}$
(6) $\text{CHCl}_2 + \text{Cl}_2 \rightarrow \text{CHCl}_3 + \text{Cl}$	$5.13 \times 10^{11}$	0	1240	$4.31 \times 10^{10}$

[ $\text{CH}_4$ ]:[ $\text{Cl}_2$ ]:[Ar]:[Cl]<sub>0</sub> = 0.01:0.04:0.95:4×10<sup>-8</sup>,  $p = 1 \text{ atm}$ ,  $T = 500 \text{ K}$  で

$$\begin{aligned} [\text{CH}_4] &= 2.44 \times 10^{-7} \text{ mol cm}^{-3} \\ [\text{Cl}_2] &= 9.75 \times 10^{-7} \text{ mol cm}^{-3} \\ [\text{Cl}]_0 &= 9.75 \times 10^{-13} \text{ mol cm}^{-3} \\ r_1 &= k_1[\text{CH}_4] = 1.28 \times 10^5 \text{ s}^{-1} \\ r_2 &= k_2[\text{Cl}_2] = 1.73 \times 10^6 \text{ s}^{-1} \\ r_4 &= k_4[\text{Cl}_2] = 3.31 \times 10^5 \text{ s}^{-1} \\ r_6 &= k_6[\text{Cl}_2] = 4.21 \times 10^4 \text{ s}^{-1} \end{aligned}$$

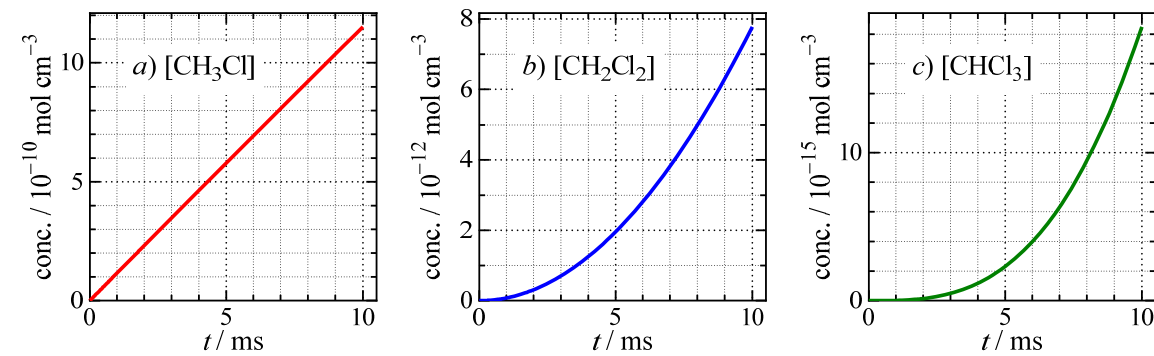


図 2.3:  $\text{CH}_4$ 連鎖塩素化反応 ( $[\text{CH}_4]:[\text{Cl}_2]:[\text{Ar}]:[\text{Cl}]_0 = 0.01:0.04:0.95:4 \times 10^{-8}$ ,  $p = 1 \text{ atm}$ ,  $T = 500 \text{ K}$ ).  
[23 化学種 82 素反応を含む反応機構による計算結果]